XX, № 5, 1967

УДК 541.127+542.921+661.494+678.744.72

ИССЛЕДОВАНИЕ КИНЕТИКИ ТЕРМИЧЕСКОГО РАСПАДА ПЕРСУЛЬФАТА В ВОДНЫХ РАСТВОРАХ ПОЛИВИНИЛОВОГО СПИРТА

Н. М. БЕЙЛЕРЯН, А. Л. САМВЕЛЯН, О. А. ЧАЛТЫКЯН Н Л. А. ВАРДАНЯН

Установлено, что в водных растворах поливинилового спирта (ПВС) заметно увеличивается скорость термического распада персульфата калия. В начальном периоде реакция первого порядка по персульфату. Порядок реакции в этой же области по ПВС равен половине. Затем наблюдается самоторможение. Предполагается, что ПВС вызывает цепной распад персульфата. Самоторможение реакции объясняется пассивацией молекулы ПВС взаимодействием последней с ионом SO₄—, являющимся продуктом реакции. В результате реакции образуется ни в чем нерастворимый желтый осадок, по всей вероятности, сшитый ПВС. Кислород, а также рН среды, не влияют на скорость распада. Увеличение содержания ацетатных групп в ПВС отрицательно отражается на скорости распада персульфата.

Поливинилацетатная суспензия получается полимеризацией винилацетата в водной эмульсии. Эмульгатором служит поливиниловый спирт. В качестве инициатора полимеризации часто применяются персульфаты. Однако, до сих пор отсутствуют в литературе данные о влиянии ПВС на механизм распада персульфата, а также о взаимодействии ионов-радикалов SOT с молекулой ПВС.

Кинетика и механизм термического распада персульфата калия в водных растворах детально описаны в литературе [1—5]. Установлено [1], что скорость реакции описывается уравнением:

$$W = [k_1 + k_3 \text{ (H}^+)] \text{ (S}_2 \text{O}_8^{--}). \tag{1}$$

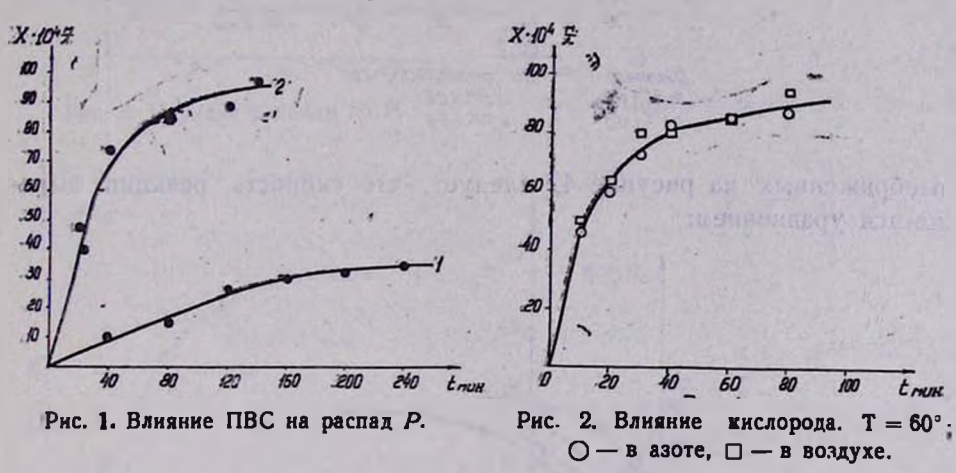
В сильно щелочной среде распад персульфата носит исключительно гомолитический характер и протекает с энергией активации 33,5 ккал/моль (константа скорости k_1 в мин $^{-1}$), а в сильно кислой среде он носит гетеролитический характер с константой скорости k_2 в $n/\text{мол}^{-1} \cdot \text{мин}^{-1}$. Последняя реакция катализируется ионами водорода. Энергия активации последней 26,0 ккал/моль. Значение k зависит от ионной силы среды.

В литературе имеется мало работ по кинетике распада персульфата калия в присутствии спиртов. Бертлеттом и Котманом [4] установлено, что при температурах ниже температуры заметного термического распада персульфата последний не реагирует с метанолом. Предложен радикально-цепной механизм реакции. По данным Боуна и Мерджерисона [6], в отсутствии ионов Ag^+ и Cu^{++} персульфат не разлагается с заметной скоростью в водно-этанольных растворах при температурах ниже 45° C.

Левитт и Малиновский [7] предполагают, что персульфат разлагается гетеролитически в присутствии изопропилового спирта, однако эта точка зрения в последнее время подвергнута критике [8].

Экспериментальная часть

Персульфат калия очищался пятикратной кристаллизацией из бидистиллята и высушивался при 40° . Чистота, определенная йодометрически, $99,98^{\circ}/_{\circ}$. ПВС пятикратно промывали холодным бидистиллятом, смесью вода-метанол и метанолом. Средний вискозиметрический молекулярный вес 22000. Содержание ацетатных групп $1^{\circ}/_{\circ}$; рН среды регулировался буферными смесями. За скоростью реакции следили йодометрически, определяя непрореагировавшее количество персульфата в пробах. Температура поддерживалась постоянной с точностью $\pm 0,05^{\circ}$ С. Растворитель — вода-бидистиллят.



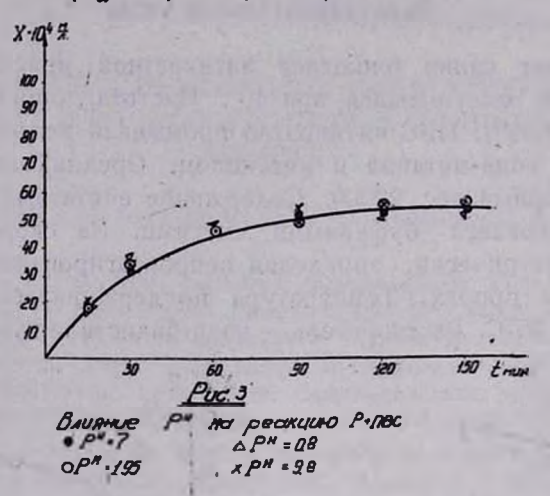
На рисунке 1 приведены кинетические кривые расхода персульфата в присутствии и отсутствии ПВС при 60° и $(P)_0 = (\Pi BC)_0 = 0.02 \text{ м/л}$ (кривая 2). В отсутствии ПВС начальная концентрация персульфата — $(P)_0 = 0.02 \text{ м/л}$ (кривая 1).

Из рисунка 1 видно, что в присутствии ПВС скорость расхода персульфата значительно больше скорости расхода в отсутствии первого. Кинетические данные, приведенные на рисунке 2, показывают, что кислород не влияет на скорость распада персульфата; поэтому дальнейшие исследования велись в атмосфере воздуха.

В интервале рН среды 0,8—9,8 не наблюдено изменение в скорости распада персульфата (см. рис. 3). По этой причине дальнейшие опыты проводились в небуферированных водных растворах.

Для определения порядка реакции по персульфату и по ПВС проводились две серии опытов при 60° . В одной серии начальная концентрация персульфата оставлялась постоянной, равной (P)₀ = =0.02 м/л = const и варьировались начальные концентрации ПВС $=(\Pi BC)_0 = 0.005 - 0.038$ м/л, рассчитанные на звено (—CH₂ —CHOH).

Кинетические кривые приведены на рисунке 4. В другой серии опытов оставлялась постоянной начальная концентрация ПВС (ПВС)₀ = 0.02 м/л = const) и варьировалась начальная концентрация персульфата в интервале (P_0) = 0.01 - 0.038 м/л. Из кинетических данных,



изображенных на рисунке 4, следует, что скорость реакции выражается уравнением:

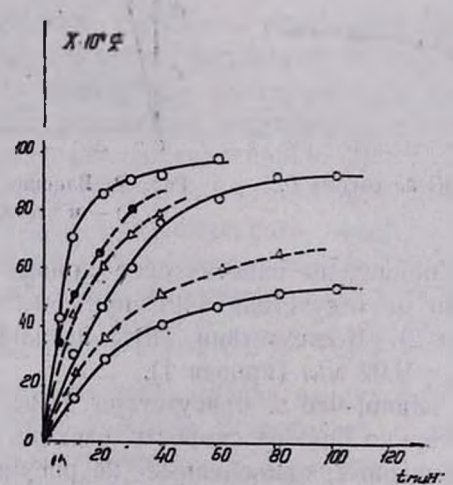


Рис. 4. Кинетические кривые реакции Р + ПВС для определения порядка по Р и ПВС.

$$\frac{dx}{dt} = k_{a\phi\phi}. \text{ (P) (IIBC)}^{1/a}. \tag{2}$$

При $(P)_0 = (\Pi BC)_0$ уравнение (2) переходит в:

$$\frac{dx}{dt} = k_{\theta \Phi \Phi}. (P)^{\theta/2}. \tag{3}$$

Экспериментальные данные в начальной части кривой (рис. 7), в действительности, удовлетворяют уравнению (3).

Ввиду того, что в молекуле ПВС кроме групп ОН имеются также ацетатные группы — ОСОСН $_3$ (1%), в принципе способные вступать в реакцию с ион-радикалами SO_4^- , необходимо было исследовать влияние количества ацетатных групп на скорость распада персульфата.

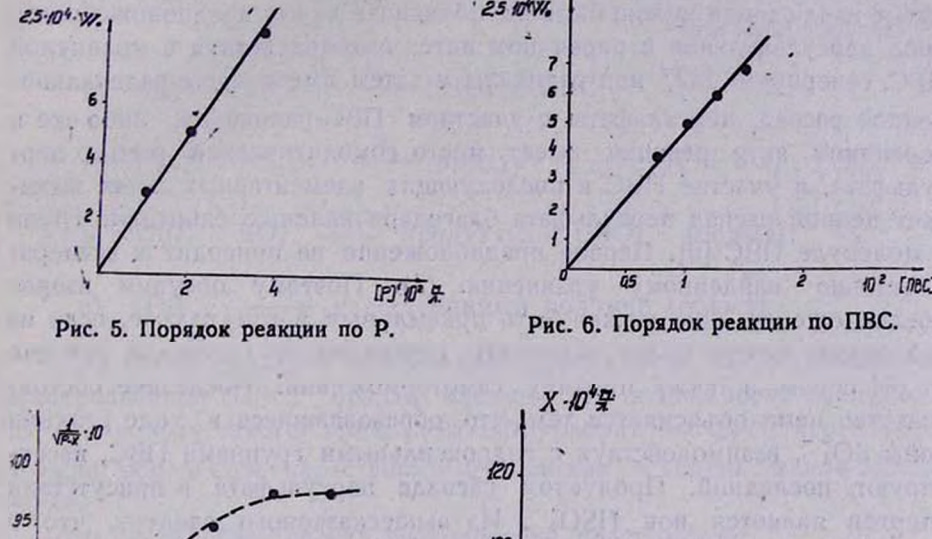


Рис. 7. Зависимость 1/√Р—X от времени. Рис. 8. Влияние содержания ацетагных групп в молекуле ПВС на скорость реакции.

Как следует из рисунка 8, при замене ПВС, содержащего 1°/₀ ацетатных групп (кривая 1), ПВС-ом, содержащим 10°/₀ ацетатных групп (кривая 2), скорость распада персульфата при 60° в начальном периоде не меняется; однако с увеличением содержания ацетатных групп в ПВС самоторможение наступает раньше (т. е. при меньших расходах персульфата).

Обсуждение результатов

Дробный порядок реакции по поливиниловому спирту, а также способность системы персульфат + ПВС инициировать радикальную полимеризацию винилацетата при температурах выше 50°, указывают на радикальный характер распада персульфата в водных растворах ПВС. Как было отмечено (рис. 1), скорость распада персульфата значительно больше в присутствии ПВС, чем в его отсутствие. Упомянутые наблюдения можно было бы объяснить двумя предположениями; либо персульфат-ион в первичном акте, взаимодействуя с молекулой ПВС, генерирует SO ион-радикалы и затем имеет место радикальноцепной распад персульфата с участием ПВС-радикалов, либо же в первичном акте реакции имеет место гомолитический распад персульфата, а участие ПВС в последующих элементарных актах вызывает цепной распад персульфата благодаря наличию спиртовых групп в молекуле ПВС [6]. Первое предположение не приводит к экспериментально найденному уравнению (2). Поэтому обсудим предположение. Оно может быть приемлемым в том случае, если на его основе можно будет объяснить независимость скорости реакции от рН среды, а также причину самоторможения. Последнее обстоятельство нами объясняется тем, что образовавшиеся в ходе реакции ноны SO4, взаимодействуя с гидроксильными группами ПВС, пассивируют последний. Продуктом распада персульфата в присутствии спиртов является ион HSO4. Из вышесказанного следует, что в реакционном растворе имеются следующие равновесия:

$$HSO_4^- \stackrel{k_1}{\longleftrightarrow} H^+ + SO_4^{--} \tag{I}$$

с константой равновесия k_1 порядка 10^{-2} ,

$$SO_4^- + \Pi BC \stackrel{k_{II}}{\longleftarrow} (\Pi BC)_{\text{nacchin.}},$$
 (II)

откуда (ПВС)_{пассив.} =
$$k_{II}$$
 (SO₄ -) (ПВС), (III)

где (ПВС), - текущая общая концентрация ПВС. Ясно, что:

$$(\Pi BC)_{\ell} = (\Pi BC)_{akt.} + (\Pi BC)_{nacch8.}, \qquad (IV)$$

где (ПВС)_{вкт.} — концентрация несвязанного с ионами SO₄ ПВС. Подставляя (III) в (IV), получаем:

$$(\Pi BC)_t = (\Pi BC)_{a\kappa r.} + \overline{k}_{II} (SO_4^{-} (\Pi BC)_t,$$
 (V)

откуда

$$(\Pi BC)_{\text{вкт.}} = (\Pi BC)_t \{1 - k_{II} (SO_4^{2-})\} = (\Pi BC)_t \left\{1 - k \frac{(HSO_4^-)}{(H^+)}\right\}, \quad (VI)$$
 где $k = k_1 \cdot k_{II}$

Ввиду того, что по литературным данным в средах от слабокислых до слабощелочных персульфат подвергается одновременно как гомолитическому, так и гетеролитическому распаду [1], можно написать следующую схему:

а)
$$S_2O_8^{--} \xrightarrow{k_1} 2SO_4^{--}$$
 (гомолитический распад);

б)
$$HS_2O_8^- \xrightarrow{k_1'} HSO_4^- + SO_4 \xrightarrow{H_2O} H_2SO_4 + \frac{1}{2}O_2$$
 (гетеролитический распад);

B)
$$SO_4^- + \Pi BC_{akt}$$
. $\xrightarrow{k_3} HSO_4^- + \Pi BC$;

г) ПВС
$$+ S_2O_8^{-} \xrightarrow{k_3}$$
 продукт $1 + HSO_4^{-} + SO_4^{-}$ (A);

д) ПВС
$$+$$
 SO $_4^- \xrightarrow{k_4}$ продукт $2 + \text{HSO}_4^-$ (обрыв);

Акт (e) протекает в очень малой степени, так как подвижность макрорадикалов (ПВС) гораздо меньше, чем подвижность радикалов SO₄. В пользу такого предположения говорит тот факт, что в ходе реакции образуется нерастворимый полимер в очень малом количестве.

По схеме (А) скорость расходования персульфата:

$$W = -\frac{d(S_2O_8^{-7})}{dt} = k_1(S_2O_8^{-7}) + k_1'(HS_2O_8^{-7}) + k_3(\Pi BC^{-1})(S_2O_8^{-7}).$$
 (VII)

Скорость цепного распада персульфата значительно больше скорости термического распада одного персульфата, поэтому

$$k_{3} (\Pi BC^{-}) (S_{2}O_{8}^{--} \gg k_{1} (S_{2}O_{8}^{--}) + k'_{1} (HS_{2}O_{8}^{--}),$$

и для скорости реакции получаем:

$$W = -\frac{d(S_2O_8^{--})}{dt} = k_3(\Pi BC)(S_2O_8^{--}).$$
 (VIII)

Для определения стационарной концентрации макрорадикалов поливинилового спирта используем метод стационарных концентраций:

$$\frac{d (\Pi BC^{\cdot})}{dt} = k_2 (SO_4^{-}) (\Pi BC)_{akt} - k_3 (\Pi BC^{\cdot}) (S_2O_8^{-}) - k_4 (\Pi BC^{\cdot}) (SO_4^{-}) - 2k_5 (\Pi BC^{\cdot})^2 = 0;$$
 (IX)

$$\frac{d (SO_{4}^{-})}{dt} = 2k_{1} (S_{2}O_{8}^{-}) - k_{2} (SO_{4}^{-}) (\Pi BC)_{akt} + k_{3} (\Pi BC) (S_{2}O_{8}^{-}) - k_{4} (\Pi BC) (SO_{4}^{-}) = 0.$$
 (X)

Из уравнений (IX) и (X) получаем:

$$2k_1(S_2O_8^-) = 2k_4(SO_4^-)(\Pi BC^-) + 2k_5(\Pi BC^-)^2.$$
 (XI)

По указанной выше причине в сумме правой части уравнения (XI) можно пренебречь вторым слагаемым. В этом случае получается:

$$k_1(S_2O_8^-) = k_4(SO_4^-)(\Pi BC^-).$$
 (XII)

Поскольку скорости двух актов развития цепи (в) и (г) почти равны, можно написать:

$$k_2(SO_4^-)$$
 ($\Pi BC)_{BBT} = k_3(\Pi BC^-)$ ($S_2O_8^-$). (XIII)

Совместное решение (XII) и (XIII) дает:

$$(\Pi BC) = \sqrt{\frac{\overline{k_1 \cdot k_2}}{\overline{k_3 \cdot k_4}}} (\Pi BC)^{1/6}_{BXT}.$$
 (XIV)

Подставляя (XIV) в (VIII), получаем:

$$W = -\frac{d (S_2O_8^{-})}{dt} = \sqrt{\frac{k_1 \cdot k_2 \cdot k_3}{k_4}} (S_2O_8^{-}) (\Pi BC)_{akt.}^{i_a} =$$

$$= k_{a\phi\phi.} (S_2O_8^{-}) (\Pi BC)_{akt.}^{i_a}$$
(XV)

Выражение (XV) идентично уравнению (2).

Если в уравнение (XV) подставить выражение (VI), получается: $W = k_{\text{вфф}} \{1 - k_{11} (\text{SO}_4^{--})\}^{1/2} (\Pi \text{BC})^{1/2}_{\ell} (\text{S}_2 \text{O}_8^{--}).$ (XVI)

Из уравнения (XVI) следует, что при возрастании концентрации одного из продуктов реакции SO₄ скорость расходования персульфата должна уменьшаться. Ясно, что в начальном периоде реакции, когда еще можно пренебречь концентрацией ионов SO₄ , скорость реакции будет описываться уравнением (XV). Из уравнения (XVI) вытекает два следствия. Во-первых, при добавлении в реакционную среду до начала реакции сульфата калия скорость реакции должна уменьшаться; кроме того, самоторможение должно наступать тем раньше, чем больше начальная концентрация сульфата калия. Во-вторых, при откладывании на оси ординат W² и на оси абсцисс (K₂SO₄)₀ должна получаться прямая линия с отрицательным тангенсом угла наклона, т. к. при

$$t=0,~W=W_0,~(\Pi {
m BC})_t=(\Pi {
m BC})_0$$
 и $({
m S}_2{
m O}_8^-)=({
m S}_2{
m O}_8^-)_0,$ откуда $W_0=k_{
m sopp.}~(\Pi {
m BC})_0^{\prime\prime s}~({
m S}_2{
m O}_8^-)_0~\{1-k_{\rm II}~({
m K}_2{
m S}{
m O}_4)\}^{\prime\prime s}=$

$$= k' \{1 - k_{II} (K_2 SO_4)\}^{1/2}; W_0^2 = k'^2 - k'^2 \cdot k_{II} (K_2 SO_4). (XVII)$$

Рисунки 9 и 10 указывают, что сделанное нами предположение о механизме реакции близко к истине.

Независимость скорости реакции от pH среды становится понятной, если написать уравнение скорости в виде:

$$W = k_{\text{soph.}} \left\{ 1 - k \frac{(\text{HSO}_4^-)}{(\text{H}^+)} \right\}^{1/a} (\Pi \text{BC})_{\ell}^{1/a} (S_2 O_8^-)$$

(см. уравнение VI). При увеличении $[H^+]$ вырастает также $[HSO_4^-]$ благодаря равновесию (I), и отношение $[HSO_4^-]/[H^+]$ остается практически постоянным. Кроме того, в начальном периоде реакции, когда $[HSO_4^-] \simeq 0$, $[HSO_4^-] \simeq 0$, что приводит к независимости скорости реакции от pH среды.

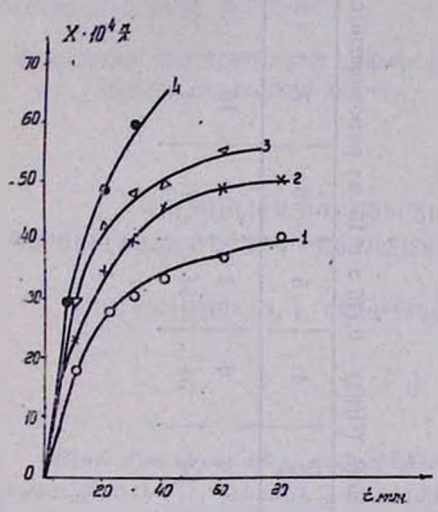


Рис. 9. Влияние K₂SO₄ на скорость реакции.

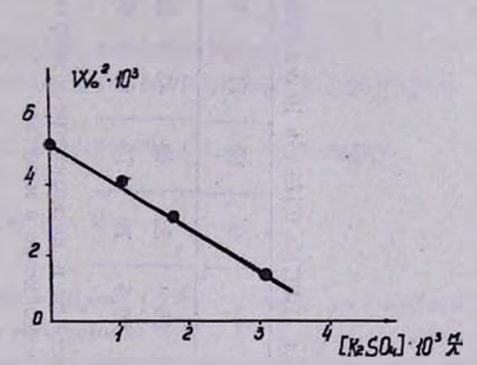


Рис. 10. Зависимость начальной скорости реакции от концентрации K_3SO_4 .

Независимость скорости реакции от наличия кислорода можно было бы объяснить, предполагая, что свободные радикалы (ПВС) не взаимодействуют с кислородом.

Влияние ацетатных групп, по-видимому, связано с действием одного из продуктов реакции—иона HSO₄. Если ион SO₄ может пассивировать молекулу ПВС, связываясь со спиртовыми группами последнего, то благодаря наличию карбонильной группы становится возможным взаимодействие иона HSO₄ с группой —ОСОСН₃

(P) = 0.02 моль/л, $(\Pi BC) = 0.176$ г в 10 мл реакционной смеси

№ №	1	2	3	4	5	6	7	8	9	10	11	12	13	14	15	16	17	18	19	20
t _{мин.}	0	3	5	10	15	20	25	30	35	40	45	50	60	70	80	90	100	110	120	150
	102	85	80	76	74	72	71	70,5	70	70	69	68,5	68	68	68	68	68	68	68	68

 $^{^{ \}bullet }$ t- Время измерения текучести реакционного раствора в вискозиметре в минутах.

Таблица 2
(P) = 0,02 моль/л, Т=80°С, (ПВС) = 0,176 г в 10 мл реакционной смеси

がが	1	2	3	4	5	6	7	8	9
t _{MIIH} .	0	[2	4	6	8	10	16	20	25
тмин.	77	58	54	54	54	54	54	54	54

^{**} т — Время истечения реакционного раствора в вискозиметре в минутах.

что способствует увеличению концентрации ионов SO₄. Видимо, по этой причине самоторможение распада персульфата наступает быстрее при увеличении содержания ацетатных групп. Выше было указано, что в ходе реакции образуется ии в чем нерастворимый полимер. Для того, чтобы убедиться, что этот осадок образуется из ПВС, проведены опыты в вискозиметре Оствальда при температурах 60° и 80°. Определены времена истечения водных растворов ПВС в присутствии персульфата.

Как следует из таблиц 1 и 2, в действительности наблюдается изменение вязкости растворов, по всей вероятности, из-за уменьшения концентрации ПВС вследствие осаждения образовавшегося сшитого ПВС. В отсутствии персульфата КНSO₄ до 80° не изменяет вязкость раствора ПВС.

Ереванский государственный университет, кафедра физической химин

Поступило 29 VI 1966

Պորժմանանան մանում մանում մանում անական մանական արևորժման անանան անանական անանական անանան անանան անանան անանան անանան անանանան անանան անանանան անանան անանանան անանանան անանանան անանան անանանան անանանան անանան անանանան անանան անանան անանան անանան անանան անանան անանանան անանանան անանան անանանան անանան անանան ա

Ն. Մ. ԲԵՏԼԵՐՅԱՆ, Ա. Լ. ՍԱՄՎԵԼՅԱՆ, Հ. Հ. ՉԱԼԹԻԿՅԱՆ և Լ. Ա. ՎԱՐԴԱՆՅԱՆ

Ибфафагб

թում թրերակվուղ է չթարքան չավաստեղարը, զժքը) ծևանիը քարգուլերում արևուղջատի (երևարին ծանծակար ովերակար ահապուելերուրն գժքը-ի քաւգուն-Արևոսւլատի (երևային ծանծակվար ովերակար ահապուելեսուրն գժքը-ի քաւգուն-Արևուղջատիեր իր հասերությունը, արաակարը, որուներությունը Արևուպատիեր իր հասերան ականակար արևությունը,

$$W_0 = k_{t+1}(P) (\P \mathcal{U})^{1/2}$$
:

չեն տոնասող անեսունֆատի ծանճանդար տետժունվար վետ։ Տորակի թվանդար։ Ենվացիրն բանատեմում է թոնասերքով՝ տե սրակնիանի աներ խոլերի չգա՝ սեն չարժենուն է ՖՃՈ-ի դեծ ումեւատներ խոլեր աներ անարի չորանում երկացիրը բանատեսում է ՖՀՈ-ի որերաներ աներանում ՖԱՈ-ի որերաներ աներանում անեսուներում երբանար հետունիար ուներում է իրճըանարան ուներում անեսուներում երբանար ուներար ուներան աներան ուներան ուներ ո

8ուլց է տրված, որ ԳՎՍ-ի ժեջ ացետատալին խմբերի քանակի մեծացումը չի ազդում ռեակցիալի սկզբնական արագության վրա, բալց ինքնարդելակումն ավելի շուտ է սկսվում։ Ռեակցիալի ընթացքում առաջանում է չլուծվող միա-ցություն, ամենալն հավանականությամբ կարված ԳՎՍ, որի հետևանքով ռեակցիոն խառնուրդի մածուցիկությունը փոքրանում է։

ЛИТЕРАТУРА

- 1. I. Kolthoff, I. Miller, J. Am. Chem. Soc., 73, 3055 (1951).
- 2. H. Palme, Z. anorg. alig. Chemie, 112, Heft 2-3, 97 (1920).
- 3. P. Bartlett, K. Nozaki, J. Pol, Sci., 3, 216 (1948).
- 4. P. Bartlett, J. Cotman, J. Am. Chem. Soc., 71, 1419 (1949).
- 5. А. Юрженко, О. Бражникова, И. Лихолит, Укр. хим. ж., 21, 586 (1955).
- 6. C. Bawn, D. Margerison, Tr. Par. Soc., 51, 925 (1955).
- 7. L. Levitt, E. Malinowski, J. Am. Chem. Soc., 77, 4517 (1955).
- 8. K. Wiberg, J. Am. Chem. Soc., 81, 252 (1959).